

ОБЪЕДИНЕННЫЙ
ИНСТИТУТ
ЯДЕРНЫХ
ИССЛЕДОВАНИЙ
дубна

K 926

P2-88-874

А.В.Купцов, А.С.Пак¹, С.Б.Саакян²

СЕЧЕНИЯ ВЗАИМОДЕЙСТВИЯ
УЛЬТРАРЕЛЯТИВИСТСКИХ АТОМОВ
ВОДОРОДА И ПОЗИТРОНИЯ С АТОМАМИ
ВОДОРОДА, УГЛЕРОДА, АЗОТА И АРГОНА

Направлено в журнал "Ядерная физика"

¹ Институт физики высоких энергий АН КазССР,
Алма-Ата

² Ереванский государственный университет

1988

1. ВВЕДЕНИЕ

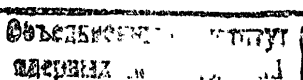
В работе^{/1/} сообщалось о регистрации позитрониев (A_{2e}) от распада π^0 -мезонов: $\pi^0 \rightarrow A_{2e} + \gamma$. Позднее было измерено полное сечение взаимодействия атомов A_{2e} с углеродом^{/2/}. Позитронии имели γ -факторы в интервале от 800 до 2000.

Изучение взаимодействия элементарных атомов с веществом при больших γ -факторах позволяет наблюдать новые особенности атомных соударений. При больших γ -факторах время t прохождения атома между двумя последовательными неупругими соударениями может стать много меньше характерного атомного времени в лабораторной системе $\tau = \gamma \tau_0$. В этом случае вероятность прохождения атома через слой вещества оказывается больше, чем это следует из экспоненциальной зависимости. Такое явление было названо сверхпроницаемостью^{/3/}. В случае позитрония $\tau_0 = 4,8 \cdot 10^{-17}$ с, длина свободного пробега в углероде $\lambda \approx 0,1$ мкм и, следовательно, $t \ll \gamma \tau_0$ уже при $\gamma \approx 100$.

В работе^{/4/} в эйкональном приближении /ЭП/ показано, что при условии $t \ll \gamma \tau_0$ вероятность обнаружения A_{2e} в связанном состоянии на глубине $L \gg \lambda$ пропорциональна L^{-1} . Количественный расчет, проведенный также в ЭП^{/5/}, показал, что уже при $L = 2,5\lambda$ отклонение от экспоненциального закона достигает 100%. В работе^{/6/}, в которой рассматривалось прохождение A_{2e} через вещество без использования ЭП, показано, что вероятность прохождения A_{2e} для толщины мишени меньше некоторой критической L_{kp} описывается ЭП, дающим зависимость L^{-1} , а при $L \approx L_{kp}$ происходит резкая смена зависимости на L^{-4} .

Обсуждаемый эффект имеет в своей основе более общее явление неупрогого экранирования, которое проявляется также в адрон-ядерных взаимодействиях^{/7/}. Эксперименты с ультратрекативистскими атомами в принципе позволяют исследовать механизм неупрогого экранирования в процессах, которые определяются наиболее изученным электромагнитным взаимодействием.

Экспериментальное изучение сверхпроницаемости в настоящее время возможно только на пучках A_{2e} , так как в случае более тяжелых атомов условие $t \ll \gamma \tau_0$ выполняется при очень больших γ -факторах или энергиях. Так, для μ -атомов ($A_{\mu\mu}$), которые экспериментально наблюдались в распаде $K^0 \rightarrow A_{\mu\mu} + \nu$ ^{/8/}, условие $t \ll \gamma \tau_0$ выполняется в углероде при $\gamma > 10^7$.



В эксперименте^{/2/} определялся коэффициент пропускания K позитрониев через углеродную пленку толщиной $L \approx 0,1$ мкм. Несэкспоненциальность поглощения учитывалась параметризацией $K = f(L/\lambda) \exp(-L/\lambda)$. Функция $f(L/\lambda)$ рассчитана в^{/5/}. Величина λ получена из полного сечения σ_{tot}^{th} , вычисленного в настоящей работе.

Вычисление сечений взаимодействия релятивистских элементарных атомов ранее проводилось^{/9÷12/}. Критический обзор этих работ дан в^{/13/}. Наиболее полное рассмотрение взаимодействия элементарных атомов с атомами выполнено в работах^{/13÷15/}. Расчеты проводились в первом борновском приближении. Использовалось, как правило, нерелятивистское приближение. В работе^{/14/} рассматриваются релятивистские аспекты проблемы. Экранирование поля ядра атома мишени учитывалось введением формфактора. Из-за экранирования сечение атом-атомных взаимодействий при больших Y -факторах оказывается постоянным.

В работах^{/9÷15/} рассматривалось лишь когерентное сечение σ_{coh} , то есть сечение, в котором атомы мишени остаются в основном состоянии. Некогерентное взаимодействие (inc), связанное с возбуждением или ионизацией атомов мишени, не учитывалось.

В работах^{/16,17/} вычислены полное сечение σ_{tot} , сечения возбуждения σ_{ex} и ионизации σ_{ion} релятивистских A_{2e} при взаимодействии с атомами с учетом некогерентной части. Исследовалась также зависимость отношения $\sigma_{inc}/\sigma_{coh}$ как для полного сечения, так и для сечения возбуждения от заряда ядра атома мишени. Оказалось, что учет возбуждения и ионизации атомов мишени существенно увеличивает сечение, в особенности для легких атомов.

В работах^{/9÷17/} для описания атомов мишени использовались атомные формфакторы $F(q)$ / q -переданный импульс/, полученные в модели Томаса - Ферми - Мольер /ТФМ/. Функция некогерентного рассеяния $S_{inc}(q)$ в^{/16,17/} вычислялась в предположении о некоррелированном распределении электронов в атоме мишени. Модель ТФМ, как известно, описывает приемлемо лишь атомы с достаточно большими Z . По этой причине результаты расчетов^{/9÷17/} носят по существу качественный характер. В настоящей работе для описания атомов использовались более точные $F(q)$ и $S_{inc}(q)$, вычисления которых основаны на методе самосогласованного поля Хартри - Фока /ХФ/.

Аналогичная задача вычисления сечения взаимодействия атомов с атомами имеется в нерелятивистском случае. В последние годы для решения этой задачи применяется подход^{/18,19/}, очень близкий к тому, который использовался в^{/16,17/}. Важно то, что сечения ионизации σ_{tot}^{th} , полученные в^{/18,19/}, можно сравнить

с имеющимися экспериментальными сечениями ионизации σ_{ion}^{th} атомов водорода при взаимодействии с атомами в интервале энергий от 10 до 200 МэВ^{/20÷23/}, где борновское приближение хорошо работает. Экспериментальные ошибки составляют примерно $+10\%$. Теоретические расчеты^{/18,19/} в пределах этих ошибок хорошо согласуются с экспериментальными сечениями.

Атом водорода описывается точно, поэтому вся неопределенность может быть связана с описанием атомов мишени. Поскольку атом позитрония также описывается точно, то и сечение взаимодействия A_{2e} с атомами может быть вычислено с точностью не хуже 10%.

Основная цель настоящей работы состоит в получении количественных результатов по сечению взаимодействия A_{2e} с атомами. Чтобы оценить точность получаемых результатов, вычислены также сечения ионизации атома водорода при столкновении с атомами H, C, N и Ar. Полученные σ_{ion}^{th} для водорода сравниваются с теоретическими сечениями из работ^{/18,19/} и с экспериментальными сечениями^{/20÷23/}.

2. ОСНОВНЫЕ ФОРМУЛЫ

В настоящей работе мы следуем расчетным схемам, изложенным в^{/18÷19/}. Рассмотрим столкновение двух нейтральных атомов A и B, находящихся в основном состоянии. Амплитуда взаимодействия в борновском приближении имеет вид

$$f_{mn}(q) = \frac{2}{q^2} \frac{\alpha}{\beta} F_m(q) F_n(q), \quad /1/$$

где q - переданный импульс, α - постоянная тонкой структуры, β - относительная скорость атомов в единицах скорости света, m и n - квантовые числа атомов A и B после столкновения - используются для обозначения как дискретных состояний, так и состояний непрерывного спектра, $m = n = 0$ для основного состояния, $F_m(q)$ и $F_n(q)$ - упругие и неупругие /переходные/ формфакторы атомов. Будем использовать также обозначения: $F_m(q, Z)$, Z - заряд ядра атома.

Упругий формфактор имеет вид

$$F_0(q) = \langle 0 | Z - \sum_{\ell=1}^Z \exp(i \vec{q} \cdot \vec{r}_{\ell}) | 0 \rangle, \quad /2/$$

где Z - заряд ядра, \vec{r}_{ℓ} - координаты электронов в атоме, $\langle 0 | \dots | 0 \rangle$ - ожидаемая величина основного состояния.

Упругий формфактор выражается через атомный формфактор $F(q)$:

$$F_0(q) = Z - F(q). \quad /3/$$

Переходные формфакторы - это матричные элементы:

$$F_{m \neq 0}(q) = \langle m | Z - \sum_{\ell=1}^z \exp(i \vec{q} \cdot \vec{r}_{\ell}) | 0 \rangle. \quad /4/$$

В /4/ Z можно не писать, так как вклад от заряда ядра в $F_{m \neq 0}(q)$ из-за ортогональности волновых функций начального и конечного состояний равен нулю.

Дифференциальное /по q / сечение перехода атомов в состояния m и n равно

$$d\sigma_{mn} = 4\pi \frac{\alpha^2}{\beta^2} |F_m(q)|^2 |F_n(q)|^2 \frac{dq^2}{q^4}. \quad /5/$$

Сечение перехода атомов в состояния m и n дается интегралом по переданному импульсу:

$$\sigma_{mn} = 4\pi \frac{\alpha^2}{\beta^2} \int_{q_{min}^2}^{q_{max}^2} |F_m(q)|^2 |F_n(q)|^2 \frac{dq^2}{q^4}. \quad /6/$$

Границы интегрирования определяются законами сохранения и зависят от энергий возбуждения E_m и E_n /18,19/.

Полное сечение получается суммированием парциальных сечений по дискретным состояниям и интегрированием по непрерывному спектру:

$$\sigma_{tot} = 4\pi \frac{\alpha^2}{\beta^2} \sum_m \sum_n \int_{q_{min}^2}^{q_{max}^2} |F_m(q)|^2 |F_n(q)|^2 \frac{dq^2}{q^4}. \quad /7/$$

При больших скоростях q_{min}^2 и q_{max}^2 стремятся к нулю и бесконечности. Вместе с известным поведением формфакторов при малых и больших q^2 это позволяет расширить область интегрирования до $(0, \infty)$ для всех возбуждений. Поэтому порядок интегрирования и суммирования можно поменять местами:

$$\sigma_{tot} = 4\pi \frac{\alpha^2}{\beta^2} \int_0^\infty [\sum_{m \neq 0} |F_m(q)|^2 + |F_o^A(q)|^2] [\sum_{n \neq 0} |F_n(q)|^2 + |F_o^B(q)|^2] \frac{dq^2}{q^4}/8/$$

Здесь выделены в явном виде квадраты упругих формфакторов.

Величина

$$S_{inc}(q) = \sum_{m \neq 0} |F_m(q)|^2 \quad /9/$$

известна как функция некогерентного рассеяния. Тогда

$$\sigma_{tot} = 4\pi \frac{\alpha^2}{\beta^2} \int_0^\infty [S_{inc}^A(q) + |F_o^A(q)|^2] [S_{inc}^B(q) + |F_o^B(q)|^2] \frac{dq^2}{q^4}. \quad /10/$$

Можно избежать суммирования бесконечного числа слагаемых. С этой целью используется условие полноты собственных состояний:

$$\sum_{m=0} |m\rangle \langle m| = 1, \quad /11/$$

которое позволяет применить правило сумм, чтобы выразить сечение неупругих столкновений через свойства начального состояния атома:

$$S_{inc}(q) = \sum_{k=1}^z \sum_{\ell=1}^z \langle 0 | \exp[i \vec{q} \cdot (\vec{r}_k - \vec{r}_{\ell})] | 0 \rangle - |F(q)|^2. \quad /12/$$

Таким образом, чтобы получить сечение, нужно вычислить одномерный интеграл, зависящий от $S_{inc}(q)$ и $F(q)$, которые определяются через волновые функции основного состояния атомов.

Как видно из /10/, σ_{tot} можно разделить на четыре парциальные сечения в зависимости от того, упруго или неупруго взаимодействуют налетающий атом А и атом мишени В. Сечения обозначим двумя индексами. Первый индекс относится к атому А: el - упругое, in - неупругое рассеяние; второй к атому В: coh - упругое, inc - неупругое рассеяние. Таким образом,

$$\sigma_{tot} = \sigma_{el,coh} + \sigma_{in,coh} + \sigma_{el,inc} + \sigma_{in,inc}.$$

Рассматриваются только два класса конечных состояний атома мишени. Для налетающего атома будем также вычислять сечения возбуждения σ_{ex} и ионизации σ_{ion} . Если один из двух индексов опускается, то по нему подразумевается суммирование.

Для вычисления σ_{ex} и σ_{ion} вводятся функции возбуждения $S_{ex}(q)$ и ионизации $S_{ion}(q)$:

$$S_{\text{inc}}(q) = S_{\text{ex}}(q) + S_{\text{ion}}(q),$$

/13/

$$S_{\text{ex}}(q) = \sum_{m=1}^{\infty} |F_m(q)|^2,$$

/14/

$$S_{\text{ion}}(q) = \int_{E_{\min}}^{\infty} |F_E(q)|^2 dE,$$

/15/

где суммирование проводится только по возбужденным дискретным состояниям, а интегрирование по непрерывным, E_{\min} - минимальная энергия, необходимая для ионизации атома.

Для $S_{\text{ex}}(q)$ правила сумм не существуют. Зная $S_{\text{ex}}(q)$, можно вычислить σ_{ex} . Тогда σ_{ion} находится из соотношения

$$\sigma_{\text{ion}} = \sigma_{\text{tot}} - \sigma_{\text{el}} - \sigma_{\text{ex}}.$$

/16/

3. $F(q)$ И $S_{\text{inc}}(q)$ ДЛЯ АТОМОВ С, N И Ar

В литературе имеются таблицы $F(q)$ и $S_{\text{inc}}(q)$ для большинства элементов, которые рассчитаны с помощью волновых функций, полученных методом Хартри - Фока. Мы использовали таблицы /24, 25/.

Для проведения численных расчетов табличные значения аппроксимировались функциями:

$$F(q) = \sum_{i=1}^4 A_i \exp(-B_i q^2) + C,$$

/17/

$$S_{\text{inc}}(q) = [Z - \frac{F^2(q)}{Z}] \sum_{i=1}^3 D_i \exp(-E_i q),$$

/18/

где x - общепринятая переменная, через которую переданный импульс выражается следующим образом:

$$q = 4\pi x (\text{\AA}^{-1}).$$

/19/

Коэффициенты A_i , B_i , C , D_i , E_i для атомов С, N и Ar приведены в табл. 1.

Коэффициенты A_i , B_i , C для N и Ar взяты из /24/; A_i , B_i , C для С и D_i , E_i для С, N и Ar получены нами при аппроксимации таблиц $F(q)$ и $S_{\text{inc}}(q)$, приведенных в /25/.

Таблица 1
Коэффициенты A_i , B_i , C , D_i , E_i для параметризации $F(q)$
и $S_{\text{inc}}(q)$ атомов С, N и Ar

	C	N	Ar		C	N	Ar
A_1	2,56960	12,2126	7,48450	D_1	0,6065	0,60654	0,4819
B_1	14,3590	0,00570	0,90720	E_1	2,1250	1,990	0,8117
A_2	1,17700	3,13220	6,77230	D_2	-0,2466	-0,357	-0,1353
B_2	0,73756	9,89330	14,8407	E_2	5,6250	5,550	1,050
A_3	0,65243	2,01250	0,65390	D_3		0,04284	
B_3	0,19450	28,9975	43,8983	E_3		17,125	
A_4	1,58850	1,16630	1,64420				
B_4	39,5610	0,58260	33,3929				
C	0,01129	-11,5290	1,44510				

4. ВЫЧИСЛЕНИЕ СЕЧЕНИЯ ВЗАИМОДЕЙСТВИЯ Н С Н, С, N И Ar

Для оценки точности расчетов сначала вычислим сечения H с H, С, N и Ar, так как вычисленные сечения можно сравнить с расчетами /18, 19/, а σ_{ion} , кроме того, с экспериментальными данными /20÷23/.

Атомный формфактор водорода в основном состоянии выражается аналитически:

$$F(q, 1) = [1 + (\frac{a_0 q}{2})^2]^{-2},$$

/20/

где a_0 - боровский радиус.

Упругий формфактор

$$F_0(q, 1) = 1 - F(q, 1).$$

/21/

Функция некогерентного рассеяния

$$S_{\text{inc}}(q, 1) = 1 - |F(q, 1)|^2.$$

/22/

Переходные формфакторы для вычисления $S_{\text{ex}}(q, 1)$ могут быть также выражены в аналитической форме, однако они имеют более сложный вид /17, 18/ и здесь не приводятся.

Сечение возбуждения вычислялось как сумма по ℓ сечений переходов в состояния с определенным значением ℓ , просуммированных по n . При этом для малых n использовались точные выражения для переходных формфакторов, а для больших n - их асимптотические выражения¹⁷.

Верхний предел интегрирования был равен $q_{\max}^2 = 250 \text{ \AA}^{-2}$, что соответствует $k = 1,26 \text{ \AA}^{-1}$ или $31,2 \text{ кэВ/с}$, или $8,4 \text{ боровским импульсам}$. Результаты интегрирования выдавались через $\Delta q = 5 \text{ \AA}^{-2}$, чтобы можно было установить, как насыщаются сечения: σ_{inc} насыщается быстрее, чем σ_{coh} .

В табл. 2 приведены результаты вычислений асимптотических сечений ($\beta = 1$) для водорода при взаимодействии с водородом, углеродом, азотом и аргоном. Индексы для сечений $e1$, $e\chi$, ion , in , tot по горизонтали относятся к налетающему атому водорода,

Таблица 2

Результаты вычислений асимптотических сечений взаимодействия H с H, C, N и Ar и их сравнение с данными работ^{18,19}. Сечения приведены в единицах $10^{-19} \text{ см}^2/\text{атом}$. Пояснения в тексте

		σ_{e1}	$\Delta\sigma_{e1}\%$	$\sigma_{e\chi}$	$\Delta\sigma_{e\chi}\%$	σ_{ion}	$\Delta\sigma_{ion}\%$	σ_{tot}	$\Delta\sigma_{tot}\%$	
H	σ_{coh}	0,042	4,8	0,007	-	0,067	5,4*	0,116	5,1	
	σ_{inc}	0,075	4,0	0,063	-	0,172	0,9*	0,310	1,6	
	σ_{tot}	0,117	4,3	0,070	-	0,239	1,9*	0,426	2,1	
C	σ_{coh}	0,912	9,0	0,154	-	1,481	5,1*	2,550	6,5	
	σ_{inc}	0,291	5,2	0,194	-	0,616	1,5*	1,101	2,5	
	σ_{tot}	1,203	8,1	0,351	-	2,097	3,9*	3,651	5,3	
N	σ_{coh}	1,134	8,4	0,150	-2,7	1,744	4,5	3,028	5,6	
	σ_{inc}	0,325	-0,3	0,227	-41,9	0,668	-3,4	1,220	-8,0	
	σ_{tot}	1,459	6,5	0,377	-23,2	2,412	2,4	4,248	1,9	
Ar	σ_{coh}	5,019	12,8	0,638	-	1,3	7,621	7,5	13,278	9,1
	σ_{inc}	0,622	94,7	0,364	23,8	1,260	-12,2	2,246	17,0	
	σ_{tot}	5,641	21,8	1,002	8,4	8,881	5,2	15,524	10,4	

Звездочками помечены величины $\Delta\sigma_{in}\%$.

индексы coh , inc , tot по вертикали относятся к атому мишени. Приведены также величины $\Delta\sigma\% = 100(\sigma^G/\sigma - 1)$, где σ^G - теоретические сечения из^{18,19}, σ - сечения, вычисленные в настоящей работе. Для мишеней H и C данные взяты из работы¹⁹ - в этой работе σ_{ex} и σ_{ion} не вычислялись, для N и Ar данные взяты из¹⁸, где вычислены σ_{ex} и σ_{ion} . В^{18,19} приведены только значения безразмерных интегралов. Чтобы получить сечения, значения интегралов умножались на величину $8\pi a_0^2 \alpha^2 = 3,75 \cdot 10^{-20} \text{ см}^2$.

Из таблицы видно, что наши результаты и результаты^{18,19} отличаются в большинстве случаев не более чем на 10%. Исключение составляют σ_{ex} - наши σ_{ex} значительно больше, чем в¹⁸. Подходы при вычислении σ_{ex} у нас и в¹⁸ несколько отличались. В работе¹⁸ σ_{ex} вычислялись как сумма сечений переходов в состояния с главным квантовым числом n , при этом выражения для квадратов переходных формфакторов включали суммирование по ℓ в конечном состоянии. Однако σ_{ex} составляет небольшую часть от σ_{in} /23%, 14%, 13% и 10% для мишеней H, C, N и Ar соответственно/. Наши значения σ_{ion} , которые можно сравнить с экспериментом, в пределах нескольких процентов совпадают с σ_{ion} из¹⁸.

В случае H-H столкновений все сечения должны вычисляться точно, однако и в этом случае наши данные и данные¹⁹ различаются в пределах до 5%. Результаты вычислений в работах одних и тех же авторов¹⁸ и¹⁹ также различаются на несколько процентов, а величины $\sigma_{e1, inc}$ для Ar в этих двух работах отличаются почти в два раза /см. табл. 3/.

Таблица 3
Сравнение сечений H-N и H-Ar взаимодействий, вычисленных в работах¹⁸ и¹⁹. $\Delta\sigma\% = 100(\sigma^{19}/\sigma^{18} - 1)$

		$\Delta\sigma_{e1}\%$	$\Delta\sigma_{in}\%$	$\Delta\sigma_{tot}\%$
N	σ_{coh}	0,9	1,3	1,2
	σ_{inc}	6,2	10,3	9,1
	σ_{tot}	2,0	3,9	3,2
Ar	σ_{coh}	1,3	1,6	1,5
	σ_{inc}	- 46,0	15,6	- 12,8
	σ_{tot}	- 7,0	3,2	0,9

Это можно объяснить тем, что целью работы^{/19/} было вычисление сечений для большого набора атом-атомных столкновений на единообразной основе. Это определило выбор таблиц $F(q)$ и $S_{inc}(q)$, которые отличаются от использованных в^{/18/}.

Нами вычислены также σ_{coh} и σ_{inc} H-C соударений для случая, когда $F(q,6)$ брался в модели ТФМ, а $S_{inc}(q,6)$ – в модели независимых частиц:

$$S_{inc}(q) = Z - \frac{|F(q)|^2}{Z}. \quad /23/$$

Было получено: $\sigma_{coh} = 2,80 \cdot 10^{-19} \text{ см}^2$, $\sigma_{inc} = 1,94 \cdot 10^{-19} \text{ см}^2$. В модели ХФ эти сечения равны /см. табл.2/: $\sigma_{coh} = 2,55 \cdot 10^{-19} \text{ см}^2$, $\sigma_{inc} = 1,10 \cdot 10^{-19} \text{ см}^2$. Сечения σ_{coh} отличаются на 10%, а σ_{inc} на 70%, то есть в приближении независимых частиц $S_{inc}(q)$ описывается неудовлетворительно. В модели ТФМ и в приближении независимых частиц для $S_{inc}(q)$ ранее^{/18,17/} вычислялось сечение взаимодействия A_{2e} с атомами.

Таблица 4

Сравнение теоретических и экспериментальных сечений ионизации атомов водорода при столкновении с H, C, N и Ar. В нечетных строках приведены σ_{ion}^{exp} в единицах $10^{-19} \text{ см}^2/\text{атом}$, в четных – отношение $\sigma_{ion}^{exp}/\sigma_{ion}^{th}$ с экспериментальными ошибками

Далее мы провели сравнение полученных σ_{ion}^{th} с имеющимися в литературе^{/20-23/} экспериментальными сечениями ионизации атомов водорода при столкновении с H, C, N и Ar, измеренными в интервале энергии 10÷200 МэВ. Результаты сравнения приведены в табл.4. В таблицу не включены σ_{ion}^{exp} для H-H столкновений при энергиях 14,6 и 17,9 МэВ^{/21/}, которые меньше σ_{ion}^{th} почти в два раза и, по-видимому, ошибочны, как это отмечается и другими авторами. В табл.4 приведены: энергия атомов водорода E(H), соответствующие этой энергии величины γ^{-1} , β^{-2} , σ_{ion}^{exp} с ошибками и отношение $\sigma_{ion}^{exp}/\sigma_{ion}^{th}$ с экспериментальными ошибками. В последней строке таблицы приведено отношение $\sigma_{ion}^{th}/\sigma_{ion}^{th}$ для N и Ar.

Данные табл. 4 в интервале 10÷44,5 МэВ приведены также на рис.1. Наши σ_{ion}^{th} приняты за единицу и обозначены сплошными прямыми линиями. Данные^{/18/} обозначены пунктирными линиями.

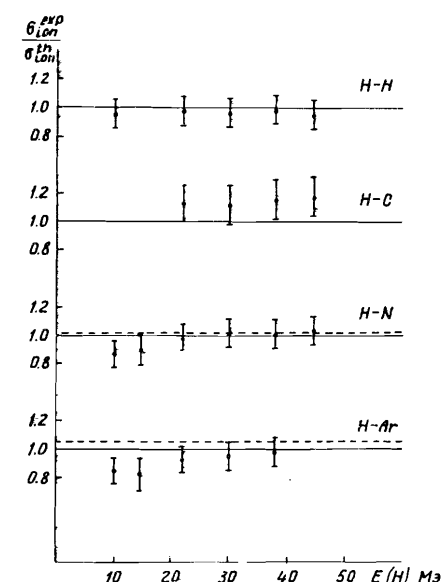


Рис.1. Сравнение теоретических и экспериментальных сечений ионизации атомов водорода при столкновении с H, C, N и Ar в интервале энергий 10÷44,5 МэВ. Сечения σ_{ion} , вычисленные в настоящей работе, приняты за единицу. Пунктиром обозначены теоретические сечения σ_{ion} из работ^{/18,19/}, точками – экспериментальные σ_{ion} ^{/20-22/}.

Из табл.4 и рис.1 видно, что согласие σ_{ion}^{th} с σ_{ion}^{exp} в пределах экспериментальных ошибок хорошее и, следовательно, неопределенность в теоретических сечениях не превышает

величину экспериментальных ошибок, т.е. $\pm 10\%$. Можно утверждать, что и при вычислении сечения взаимодействия A_{2e} с атомами неопределенность также не будет превышать $\pm 10\%$, так как все приведенные выше формулы могут быть использованы для расчета сечений взаимодействия A_{2e} с атомами при небольшом изменении в $F(q,1)$ и $S_{inc}(q,1)$ при переходе от H к A_{2e} .

5. ВЫЧИСЛЕНИЕ СЕЧЕНИЯ ВЗАИМОДЕЙСТВИЯ A_{2e} С Н, С, N И Ar

Переходный формфактор позитрония имеет вид

$$F_m(q, A_{2e}) = \langle m | e^{-i\vec{q} \cdot \vec{r}/2} - e^{i\vec{q} \cdot \vec{r}/2} | 0 \rangle,$$

где $\pm \vec{r}/2$ - координаты электрона и позитрона в A_{2e} .

Все формфакторы позитрония, как и в случае водорода, можно представить в аналитической форме. Атомный формфактор A_{2e} имеет вид

$$F(q, A_{2e}) = [1 + (a_0 q)^2]^{-2}, \quad /24/$$

где a_0 - боровский радиус атома водорода.

Функция некогерентного рассеяния A_{2e} :

$$S_{inc}(q, A_{2e}) = 2(1 - F(q, A_{2e})). \quad /25/$$

Заметим, что в борновском приближении из-за сохранения зарядовой четности запрещены упругое рассеяние A_{2e} и его переходы в возбужденные S-состояния.

Мы рассчитали σ_{tot} для H, C, N и Ar; для C рассчитали, кроме того, σ_{ex} и σ_{ion} . Для сравнения проведены также расчеты, в которых $F(q)$ для атомов мишени брались в модели ТФМ и $S_{inc}(q)$ в приближении независимых частиц. Результаты приведены в табл. 5.

Видно, что сечения σ_{tot} , полученные в модели ТФМ, примерно в 1,5 раза больше, чем в модели ХФ. Особенно велико различие σ_{inc} в двух моделях /примерно в два раза/.

В эксперименте^{/2/} было измерено сечение σ_{tot} взаимодействия A_{2e} с углеродом при γ -факторах A_{2e} от 800 до 2000. Полученное экспериментальное сечение равно

$$\sigma_{tot}^{exp} = (16^{+18}_{-8}) \cdot 10^{-19} \text{ см}^2. \quad /26/$$

Вычисленное нами асимптотическое сечение σ_{tot}^{th} взаимодействия A_{2e} с углеродом равно:

$$\sigma_{tot}^{th} = 5.74 \cdot 10^{-19} \text{ см}^2/\text{атом}. \quad /27/$$

На рис.2 приведено сечение σ_{tot}^{th} в зависимости от кинетической энергии A_{2e} , выраженной в единицах массы покоя атома $\gamma - 1$. Стрелкой отмечен интервал $\gamma < 1,2$, в котором было измерено сечение ионизации σ_{ion} водорода при столкновении с уг-

Таблица 5
Результаты вычислений асимптотических сечений взаимодействия A_{2e} с H, C, N и Ar. Сечения приведены в единицах $10^{-19} \text{ см}^2/\text{атом}$

	σ_{ex}	σ_{ion}	$\sigma_{tot}^{th} (\text{ХФ})$	$\sigma_{tot}^{th} (\text{ТФМ})$
				$\sigma_{tot}^{th} (\text{ХФ})$
H	σ_{coh}			0,167
	σ_{inc}			0,624
	σ_{tot}			0,791
C	σ_{coh}	0,454	3,185	3,639
	σ_{inc}	0,652	1,452	2,104
	σ_{tot}	1,106	4,637	5,743
N	σ_{coh}			4,131
	σ_{inc}			2,322
	σ_{tot}			6,453
Ar	σ_{coh}			17,97
	σ_{inc}			4,139
	σ_{tot}			22,11

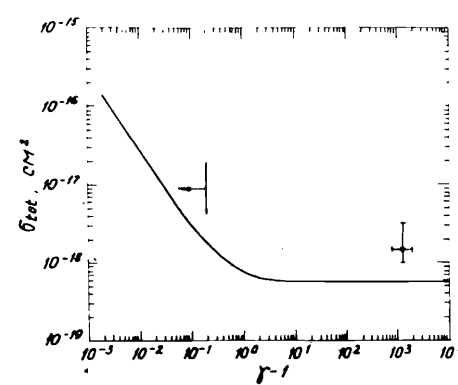


Рис.2. Зависимость полного сечения взаимодействия σ_{tot} атомов позитрония с углеродом от кинетической энергии, выраженной в единицах массы покоя налетающего атома ($\gamma - 1$):
Сплошная линия - теоретическая зависимость; точка - сечение σ_{tot} , измеренное в работе^{/2/}.
Стрелкой отмечена область ($\gamma - 1 < 1,2$), исследованная в опытах по взаимодействию атомов водорода с углеродом^{/22,23/}.

перодом^{/22,23/}. На этом же рисунке приведено экспериментальное сечение. Публикаций по измерению σ_{ion} водорода при $y > 1,2$ нет и для других атомов мишени. Таким образом, авторы эксперимента^{/2/} продвинулись по величине $y-1$ примерно на четыре порядка.

В работе^{/2/} на основании сопоставления теории и эксперимента сделан вывод, что измеренное полное сечение не противоречит вычисленному асимптотическому значению. Вместе с тем, отмечается в^{/2/}, результат не исключает других механизмов ионизации или возбуждения ультратрелевтистских атомов в среде, приводящих к существенному увеличению сечения.

Авторы благодарят Л.Л.Неменова и А.В.Тарасова за интерес к работе и обсуждения.

ЛИТЕРАТУРА

1. Алексеев Г.Д. и др. - ЯФ, 1984, т.40, с.139.
2. Афанасьев Л.Г. и др. - ОИЯИ, Р1-88-741, Дубна, 1988.
3. Неменов Л.Л. - ЯФ, 1981, т.34, с.1306.
4. Любощиц В.Л., Подгорецкий М.И. - ЖЭТФ, 1981, т.81, с.1556.
5. Пак А.С., Тарасов А.В. - ЯФ, 1987, т.45, с.145.
6. Захаров Б.Г. - ЯФ, 1987, т.46, с.148.
7. Грибов В.Н. - ЖЭТФ, 1969, т.56, с.892.
8. Aronson S.H. et al. - Phys.Rev., 1986, v.D33, p.3180.
9. Дульян Л.С., Коцинян А.М., Фаустов Р.Н. - ЯФ, 1977, т.25, с.814.
10. Prazad M.K. - Acta Phys. Pol., 1979, v.B10, p.635.
11. Коцинян А.М. - Препринт ЕФИ, ЕФИ-400/7/-80, Ереван, 1980.
12. Дульян Л.С., Коцинян А.М. - ЯФ, 1983, т.37, с.137.
13. Mrówczyński St. - Phys.Rev., 1986, v.A33, p.1549.
14. Mrówczyński St. - Phys.Rev., 1987, v.D36, p.1520.
15. Denisenko K.G., Mrówczyński St. - Phys.Rev., 1987, v.D36, p.1529.
16. Pak A.S., Tarasov A.V. JINR Preprint E2-85-882, Dubna, 1985.
17. Пак А.С., Тарасов А.В. Сообщение ОИЯИ Р2-85-903, Дубна, 1985.
18. Gillespie G.H. - Phys.Rev., 1978, v.A18, p.1967.
19. Gillespie G.H., Inokuti M. - Phys.Rev., 1980, v.A22, p.2430.
20. Berkner K.H., Kaplan S.N., Pyle R.V. - Phys.Rev., 1964, v.A134, p.1461.
21. Smythe K., Toevs J.W. - Phys.Rev., 1965, v.A139, p.15.
22. Acerbi E. et al. - Lett. Nuovo Cim., 1974, v.10, p.598.
23. Webber R.C. Hojvat C. - IEEE Trans. Nucl. Sci., 1979, v.NS-26, p.4012.
24. Cromer D.T., Waber J.T. Sec.2.2 of International Tables for X-Ray Crystallography, V. IV. Ibers and Hamilton, eds. /Kynoch Press, Birmingham, England, 1974/, p.71-147.
25. Hubbell J.H. et al. - J.Phys.Chem.Ref.Data, 1975, v.4, No.3, p.471.

Рукопись поступила в издательский отдел
20 декабря 1988 года.